

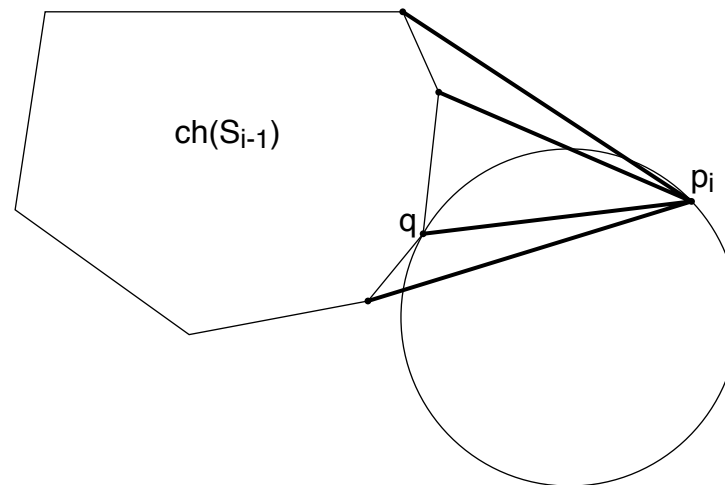
# Zusammenfassung Delaunay Triangulation

## Inkrementelle Konstruktion

Elmar Langetepe  
University of Bonn

# Inkrementelle Berechnung: Delaunay $p_i \notin \text{ch}(S_{i-1})$

- Alle sichtbaren Kanten sind Delaunay!
- Danach genauso wie vorher, Stern von  $p_i$
- Unendliche Dreiecke:  $\text{UK}(p, q, \infty) = H(p, q)$



Beweis: Kreise durch  $p_i$  und  $q$  die leer sind! Konstruktiv, Tafel!

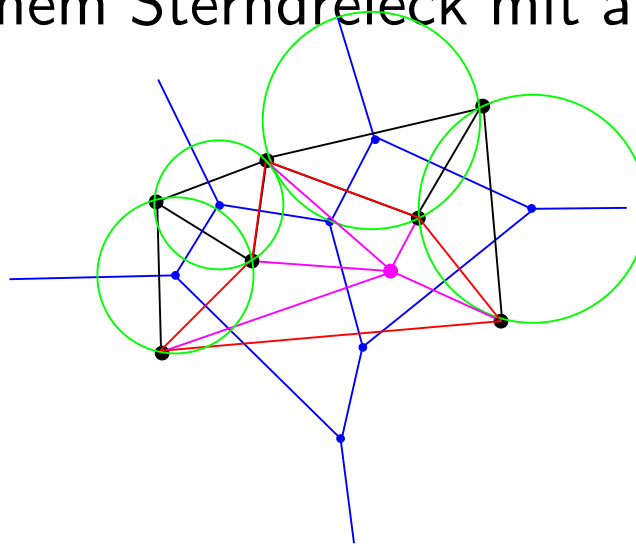
# Inkrementelle Berechnung: Terminierung!

Übungsaufgabe 6.3: Falls für alle Umkreise am Rand des Sterns von  $p_i$  gilt, dass sie  $p_i$  nicht enthalten, kann das auch kein anderer Umkreis.

Beweis: Sterndreiecke(rot/magenta), alle Kanten gehören zu  $DT_i$

Kein Konflikt von  $p_i$  mit weiterem Dreieck möglich!

Kein Konflikt von einem Sterndreieck mit anderem Punkt möglich!



# Inkrementelle Berechnung: Algorithmus!

Sukzessive  $p_i$  in  $DT_{i-1}$  einfügen

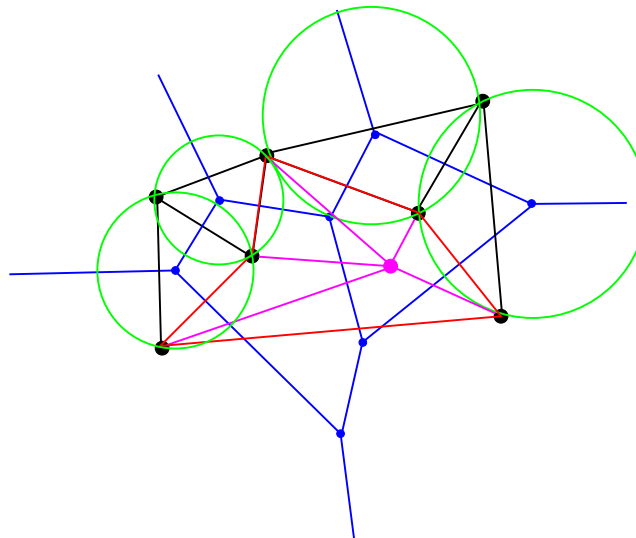
1. Lokalisieren  $p_i$  in  $DT_{i-1}$
  2. Bestimme Ausgangs-Stern von  $p_i$
  3. Sukzessive Edge-Flips durchführen
- Frage: Lokalisation?
  - Frage: Wieviele Edge-Flips gibt es insgesamt bei allen Einfügeoperationen?
  - Abschätzen durch Anzahl Konfliktdreiecke in  $DT_{i-1}$  mit  $p_i$

# Inkrementelle Berechnung: Abschätzen!

Lemma 6.3 Sei  $k_i$  die Anzahl der Dreiecke von  $DT_{i-1}$ , die mit  $p_i$  in Konflikt stehen. Sei  $d_i$  der Grad von  $p_i$  in  $DT_i$ . Dann gilt:

$$k_i + 1 \leq d_i \leq k_i + 2.$$

- $p_i \notin \text{ch}(S_{i-1})$ :  $k_i + 2 = d_i$
- $p_i \in \text{ch}(S_{i-1})$ :  $k_i + 1 = d_i$



# Inkrementelle Berechnung: Abschätzen!

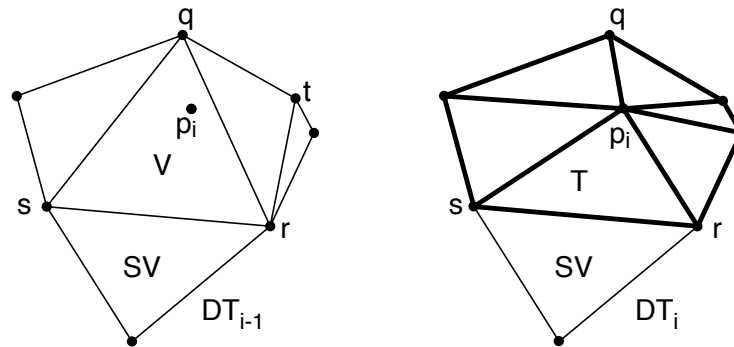
Lemma 6.4 Falls das Dreieck  $T$  aus  $DT_{i-1}$ , das  $p_i$  enthält, bekannt ist, kann  $DT_i$  in Zeit  $O(d_i)$  berechnet werden.

1. Lokalisation, alle Dreiecke testen:  $O(i)$
2. Danach Edge Flips:  $O(d_i)$  viele, liegt in  $O(i)$   
DCEL Nachbarn in  $O(1)$

Korollar 6.5  $DT(S)$  für  $|S| = n$  kann in  $O(n^2)$  berechnet werden.

# Inkrementelle Berechnung: Verbesserung

- Lokalisation: Finde  $p_i$  in  $DT_{i-1}$
- Verbessern durch Datenstruktur: Delaunay-DAG
- Historie aller Dreiecke, die entstanden sind
- Beispiel: Vater/Stiefvater Beziehung, entlang Kante  $sr$
- $T$  neu  $DT_i$ ,  $V$  Vater verantwortlich,  $SV$  Stiefvater angrenzend (Stern)

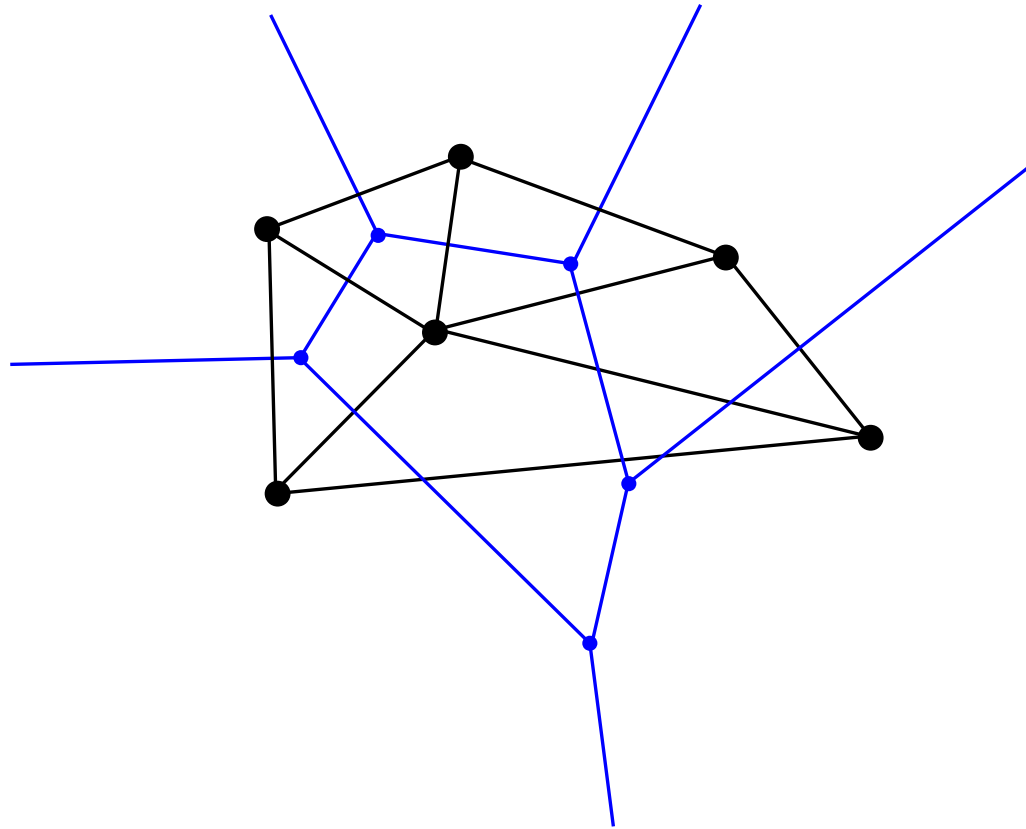


# Weiteres Beispiel: Vater/Stiefvater nach Flip

$V(T)$  ist für  $T$  verantwortlich,  $SV(T)$  grenzt an (Stern)!

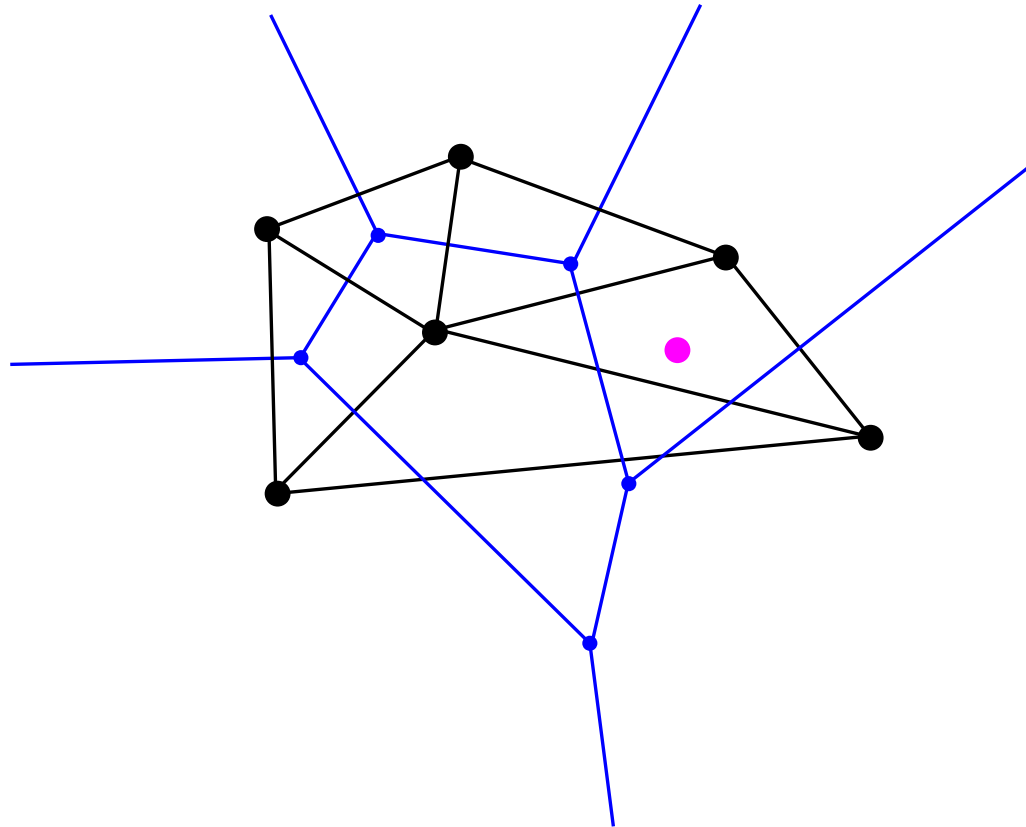


# Weiteres Beispiel: Vater/Stiefvater nach Flip



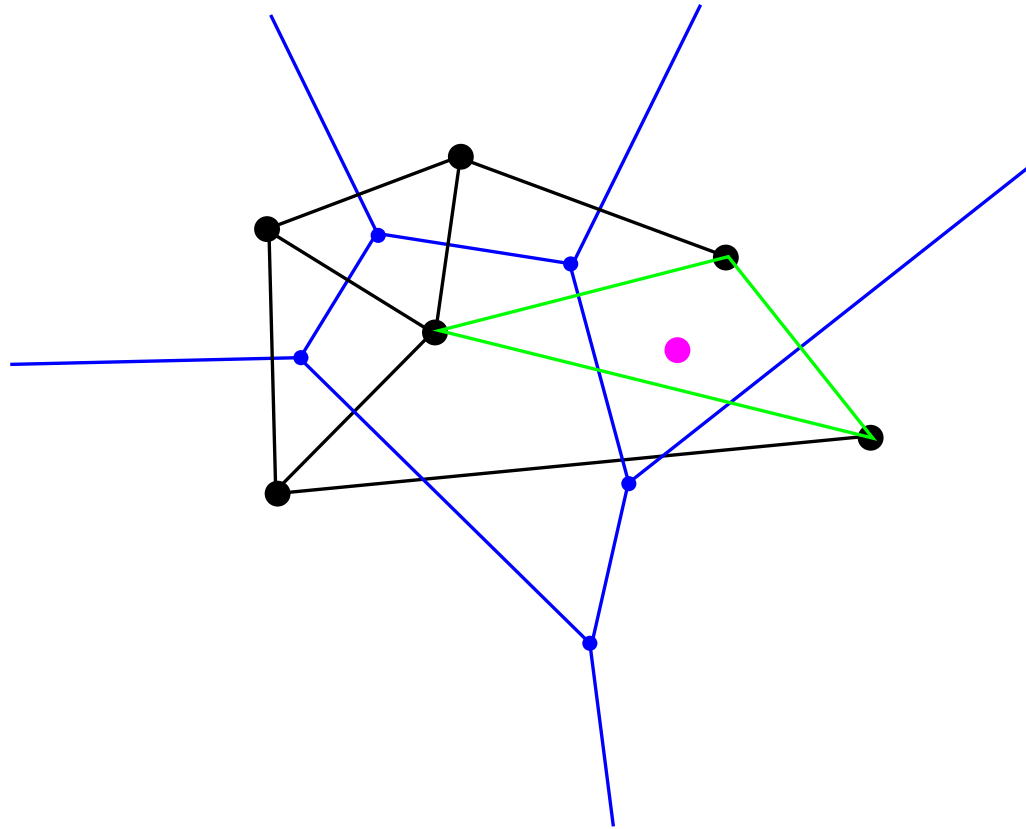
$V(T)$  ist für  $T$  verantwortlich,  $SV(T)$  grenzt an (Stern)!

# Weiteres Beispiel: Vater/Stiefvater nach Flip



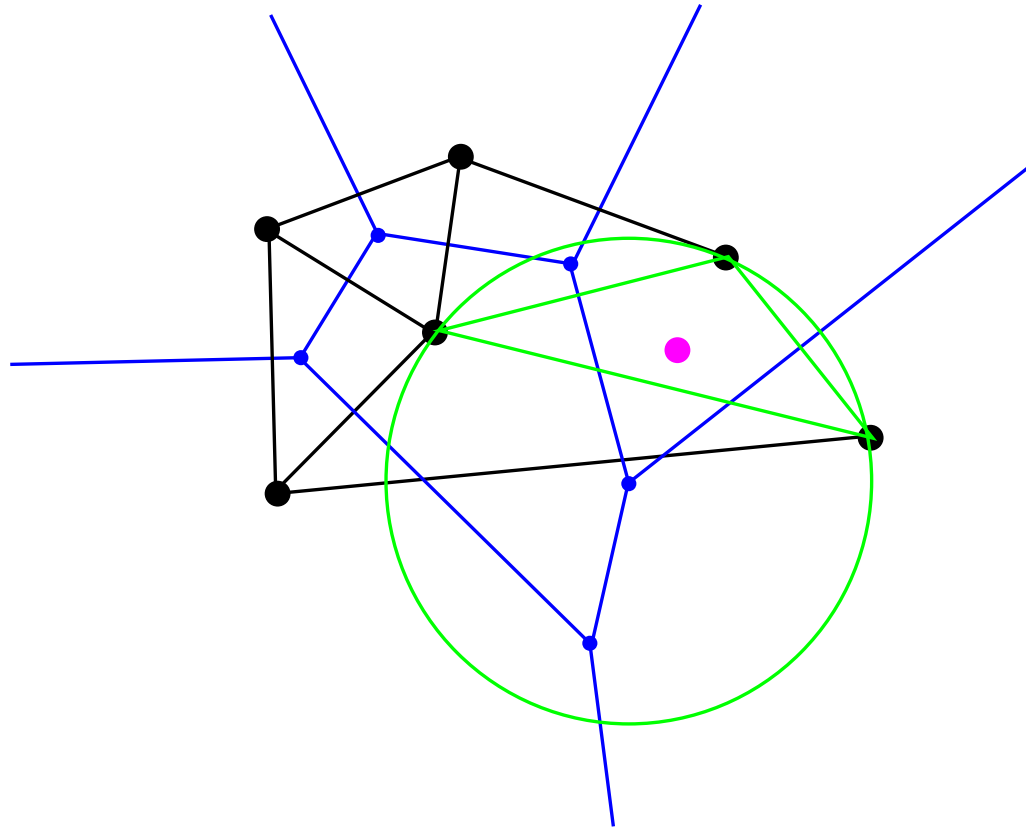
$V(T)$  ist für  $T$  verantwortlich,  $SV(T)$  grenzt an (Stern)!

# Weiteres Beispiel: Vater/Stiefvater nach Flip



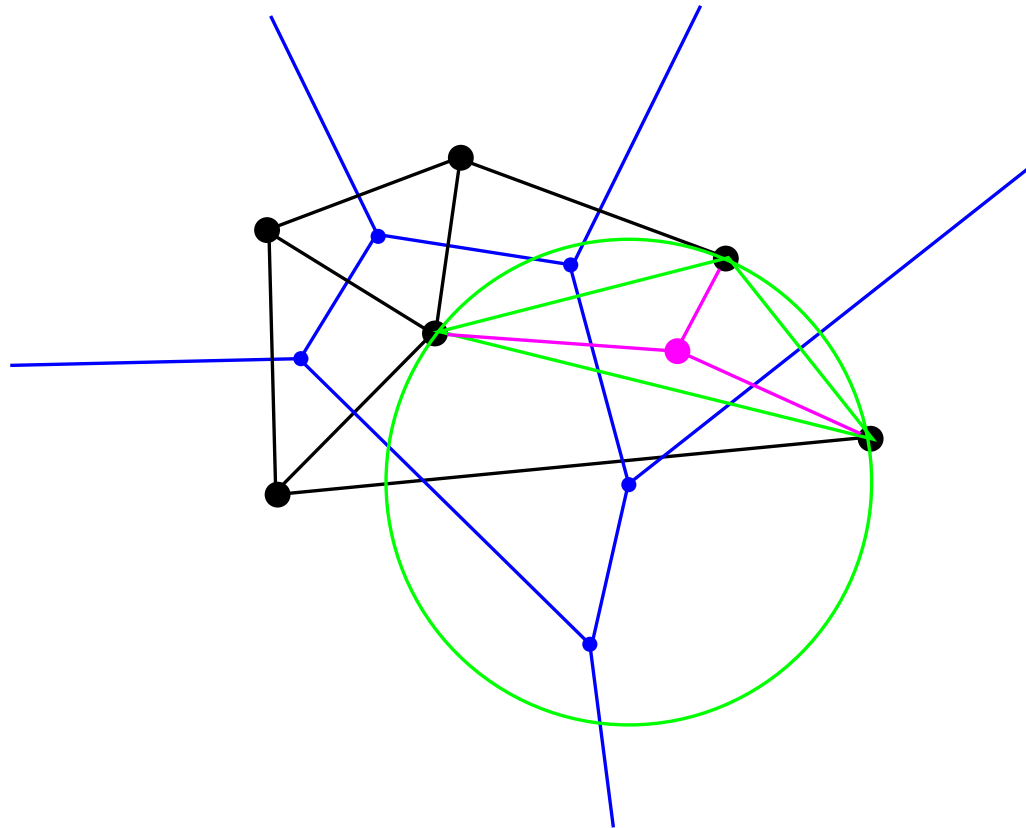
$V(T)$  ist für  $T$  verantwortlich,  $SV(T)$  grenzt an (Stern)!

# Weiteres Beispiel: Vater/Stiefvater nach Flip



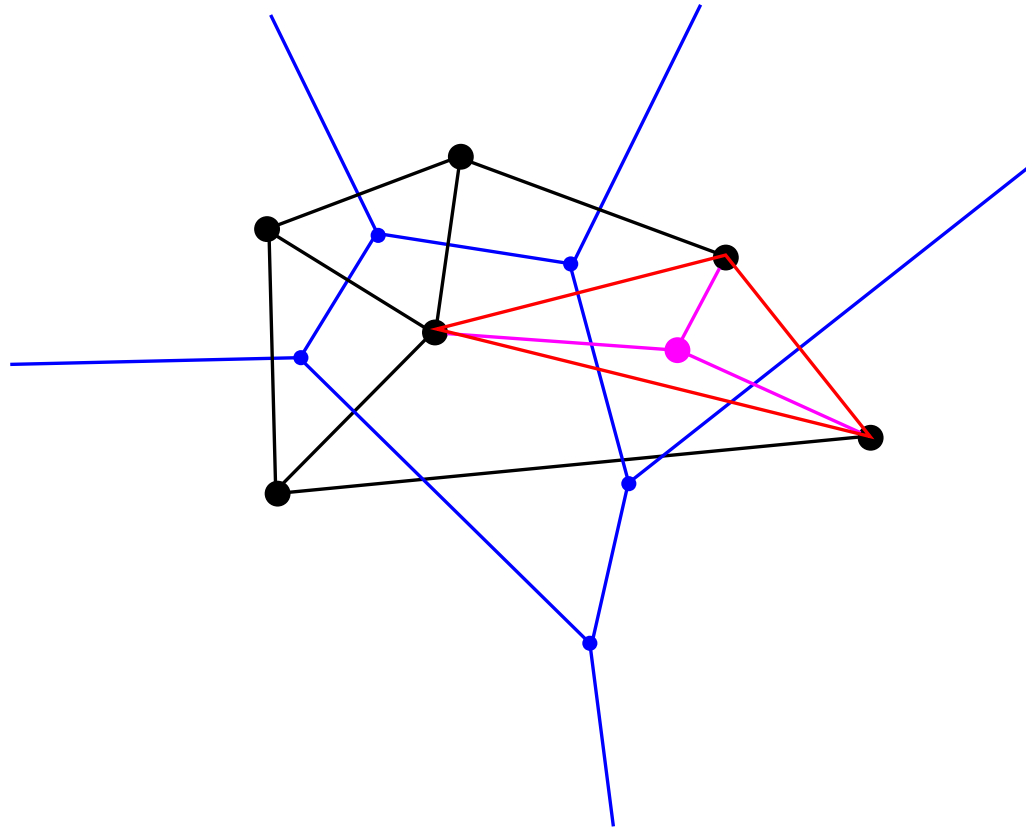
$V(T)$  ist für  $T$  verantwortlich,  $SV(T)$  grenzt an (Stern)!

# Weiteres Beispiel: Vater/Stiefvater nach Flip



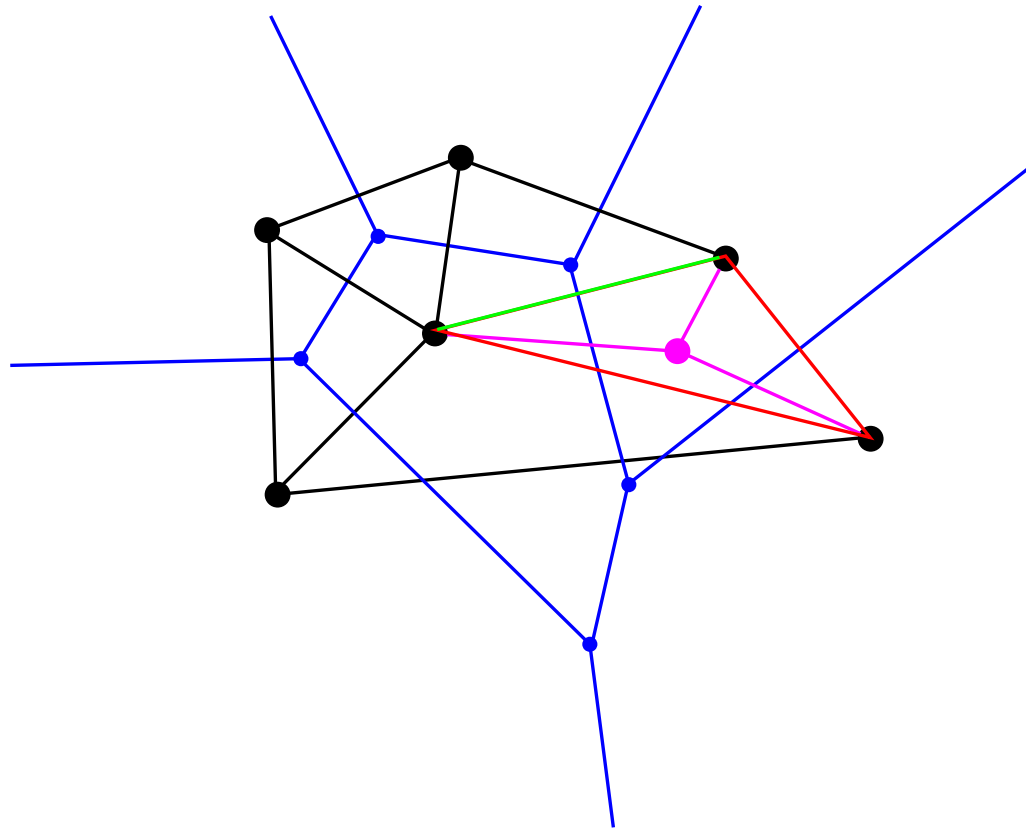
$V(T)$  ist für  $T$  verantwortlich,  $SV(T)$  grenzt an (Stern)!

# Weiteres Beispiel: Vater/Stiefvater nach Flip



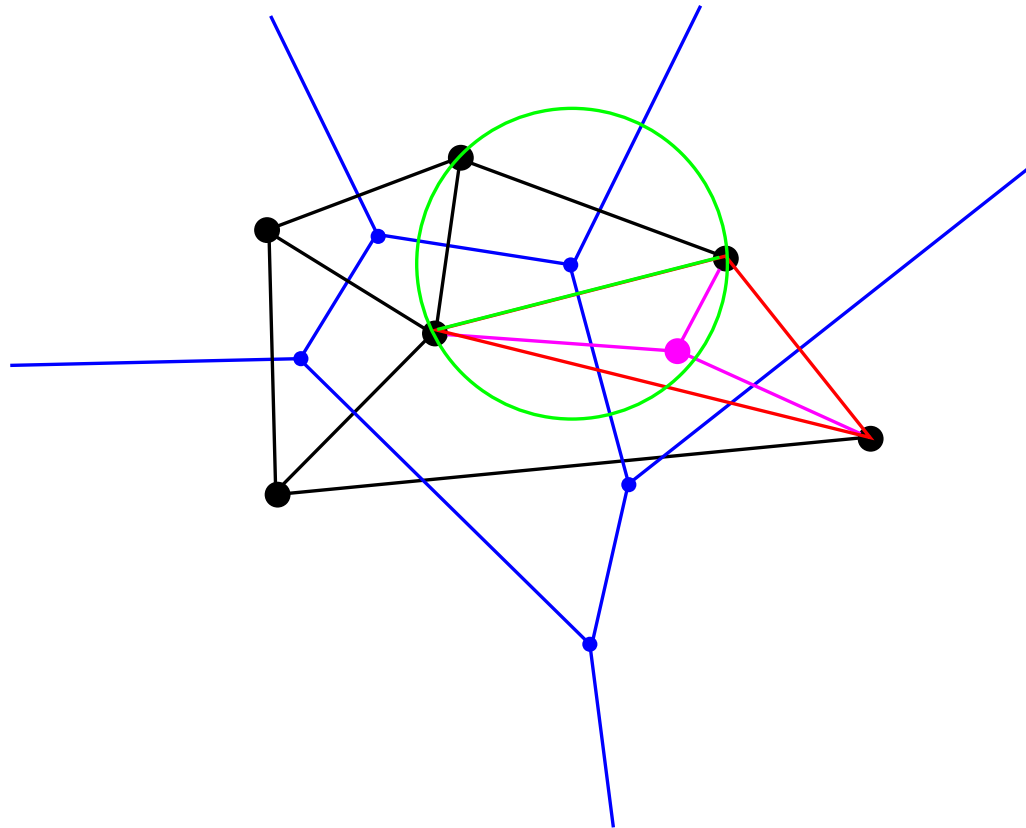
$V(T)$  ist für  $T$  verantwortlich,  $SV(T)$  grenzt an (Stern)!

# Weiteres Beispiel: Vater/Stiefvater nach Flip



$V(T)$  ist für  $T$  verantwortlich,  $SV(T)$  grenzt an (Stern)!

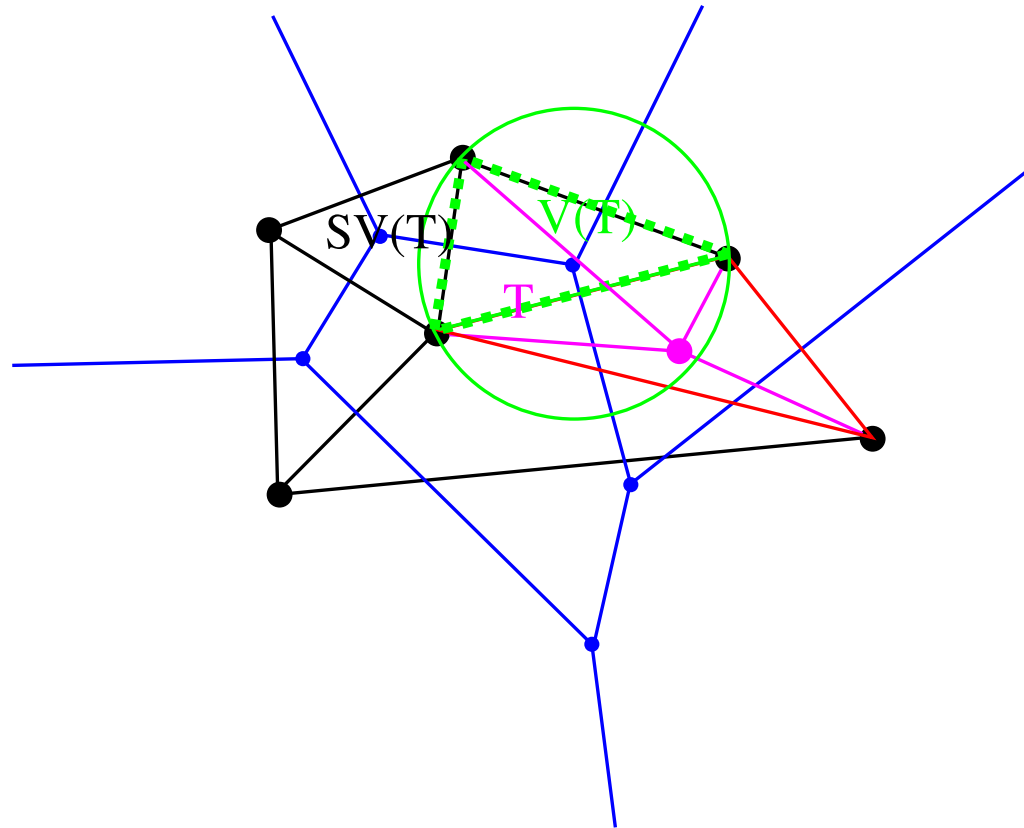
# Weiteres Beispiel: Vater/Stiefvater nach Flip



$V(T)$  ist für  $T$  verantwortlich,  $SV(T)$  grenzt an (Stern)!

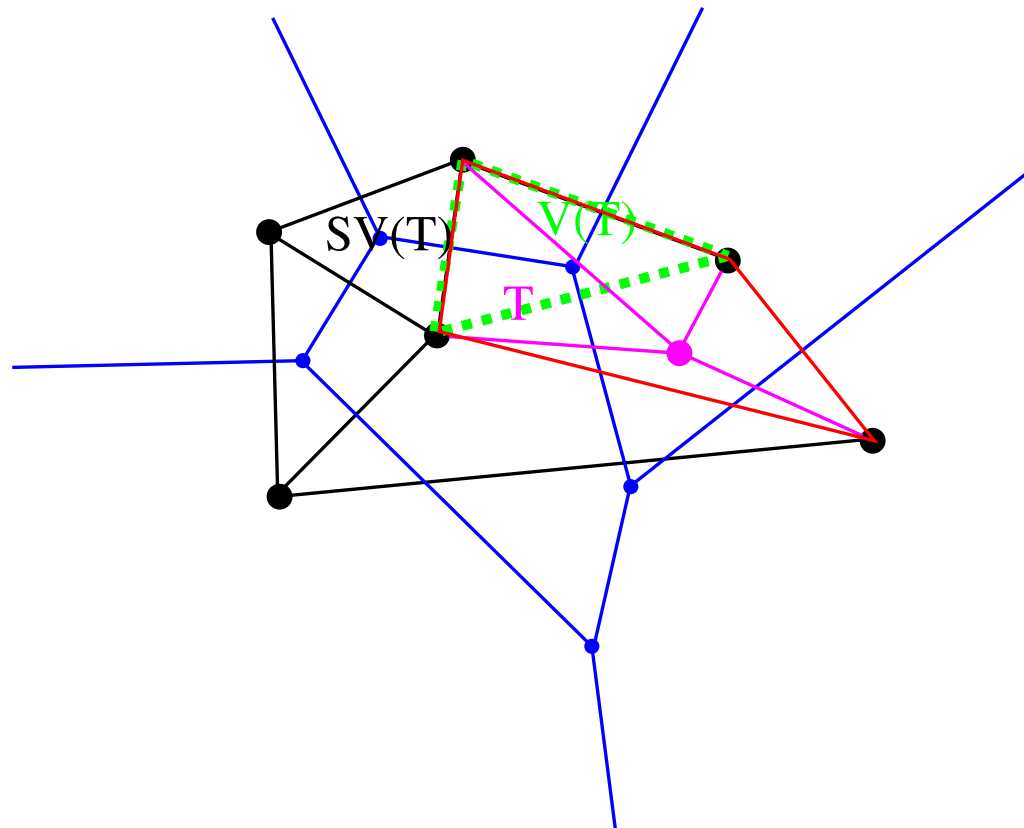


# Weiteres Beispiel: Vater/Stiefvater nach Flip



$V(T)$  ist für  $T$  verantwortlich,  $SV(T)$  grenzt an (Stern)!

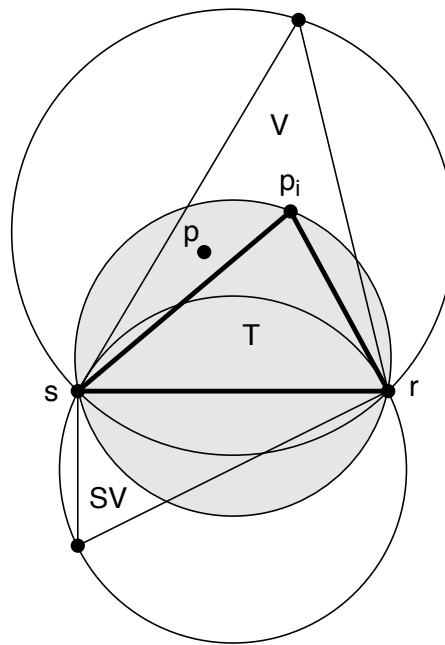
# Weiteres Beispiel: Vater/Stiefvater nach Flip



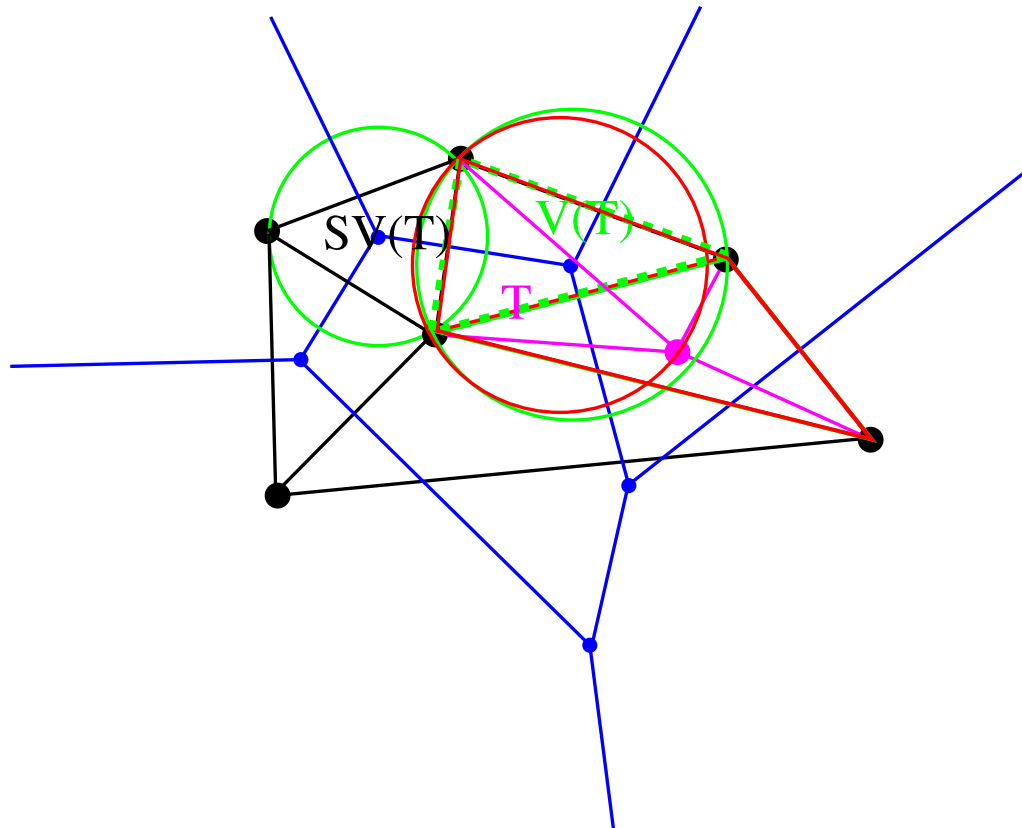
$V(T)$  ist für  $T$  verantwortlich,  $SV(T)$  grenzt an (Stern)!

# Konflikte werden vererbt

Lemma 6.6 Jeder Punkt  $p \notin S_i$ , der mit dem Dreieck  $\text{tria}(s, r, p_i)$  in Konflikt steht, steht entweder mit dem Vater oder dem Stiefvater in Konflikt.



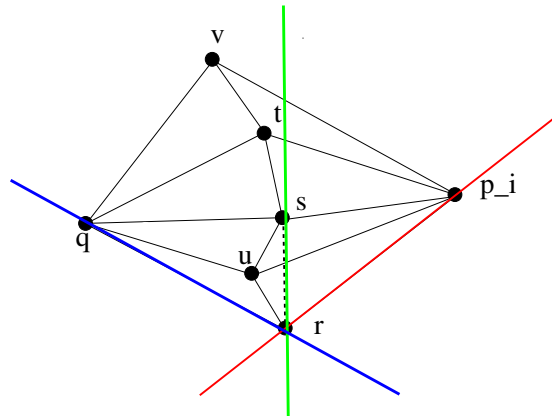
# Weiteres Beispiel: Vater/Stiefvater



Umkreis von  $T$  liegt in Vereinigung der Umkreise von  $V(T)$  und  $SV(T)$

# Delaunay DAG: Beziehungen-Beweis

Läßt sich auch auf *Unendliche* Dreiecke erweitern!



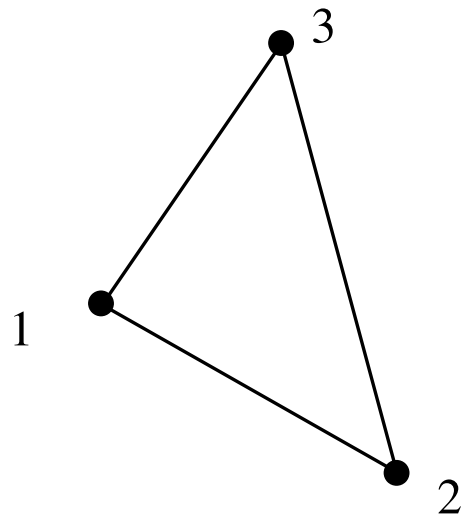
- $H(p_i, r)$  neu:  $H(r, s)$  Vater,  $H(q, r)$  Stiefvater (altes *Dreieck*)
- $H(p_i, r)$  ist in der Vereinigung von  $H(q, r)$  und  $H(r, s)$
- Beispiel:  $\text{tria}(p_i, s, t)$ , Vater  $H(s, t)$ , Stiefvater  $\text{tria}(q, s, t)$

# Delaunay DAG<sub>i</sub>: Schichten

- DAG<sub>3</sub>: Wurzel, erste Schicht, 4 Dreiecke
- DAG<sub>j</sub>: In Schicht  $(j - 2)$  Dreiecke aus DT<sub>j</sub>, die nicht in DT<sub>j-1</sub> sind
- Alle diese haben  $p_j$  als Endpunkt
- Ältere Dreiecke von DT<sub>j-1</sub> nicht auf unterster Schicht von DAG<sub>j-1</sub>
- Kanten Vater/Stiefvater
- Beispiel! Sukzessiver Aufbau mit Lokalisation!

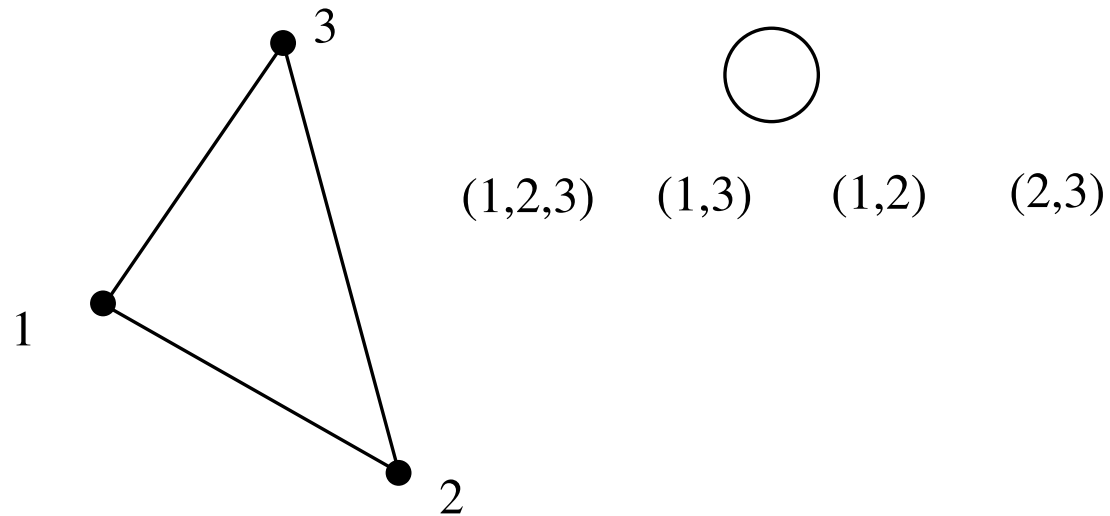
# Delaunay DAG: Aufbau/Lokalisation

# Delaunay DAG: Aufbau/Lokalisation

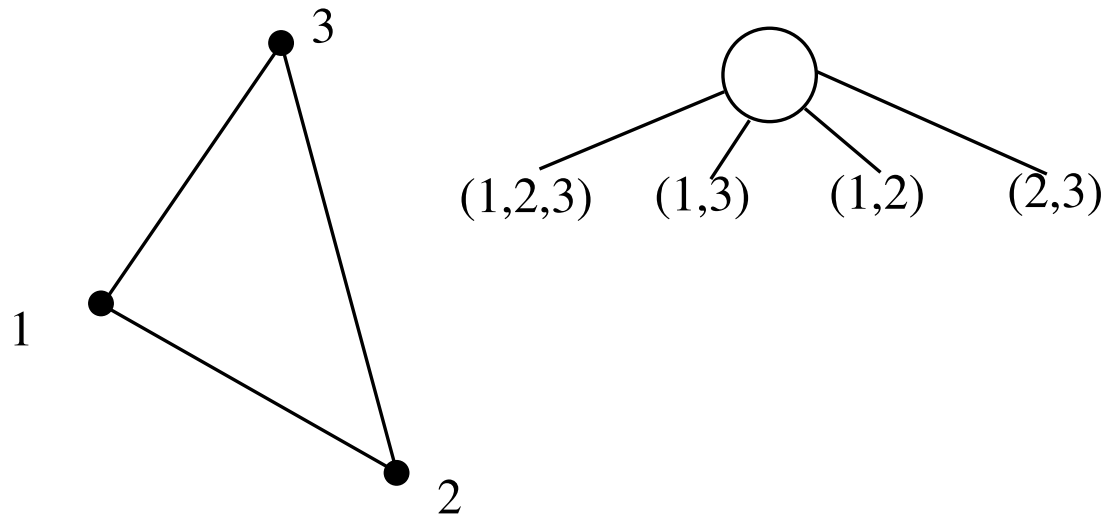




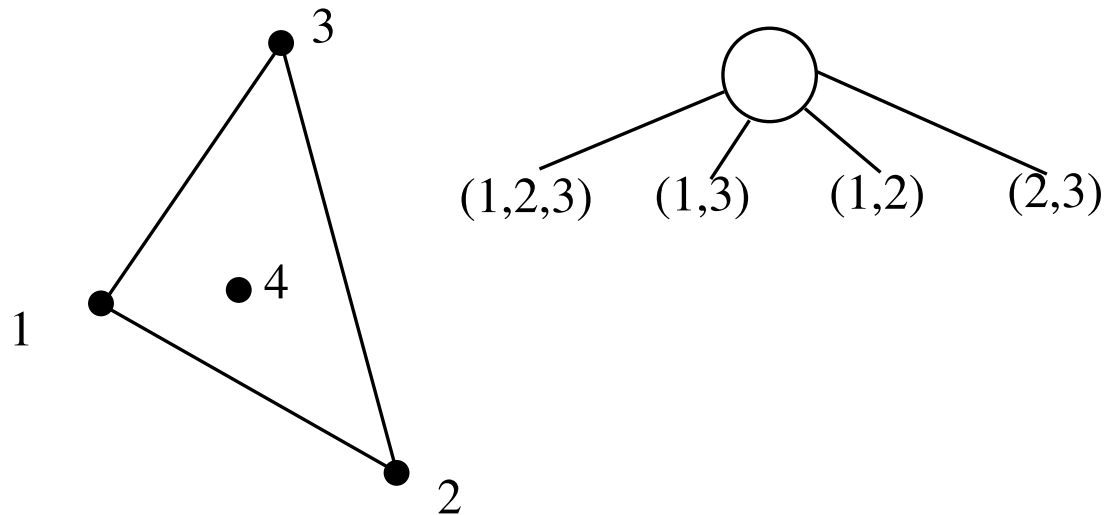
# Delaunay DAG: Aufbau/Lokalisation



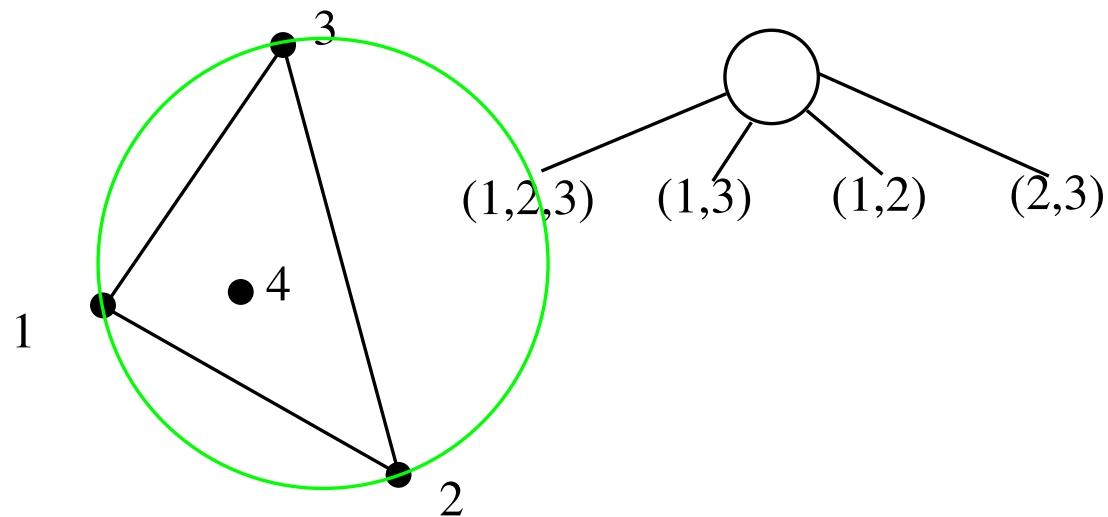
# Delaunay DAG: Aufbau/Lokalisation



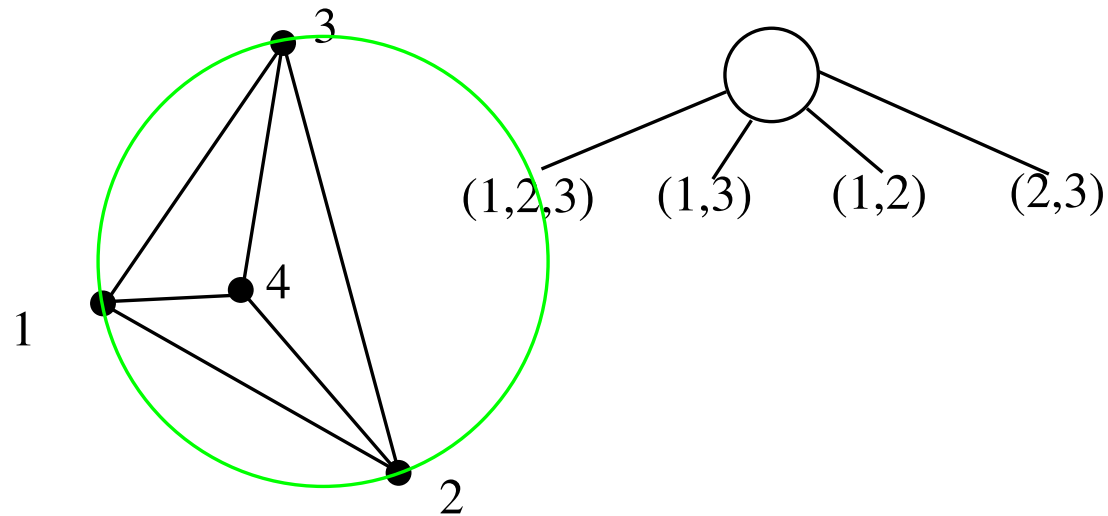
# Delaunay DAG: Aufbau/Lokalisation



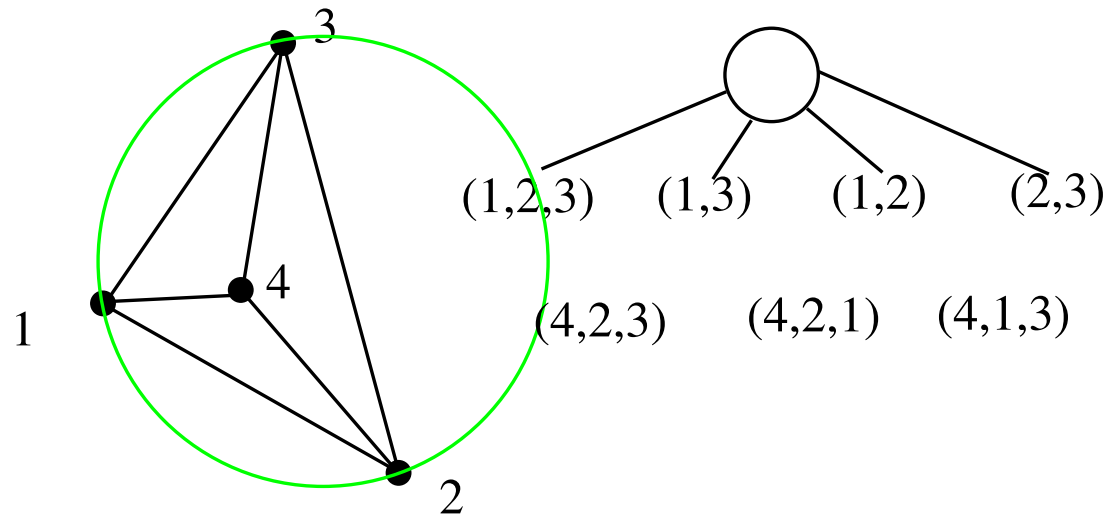
# Delaunay DAG: Aufbau/Lokalisation



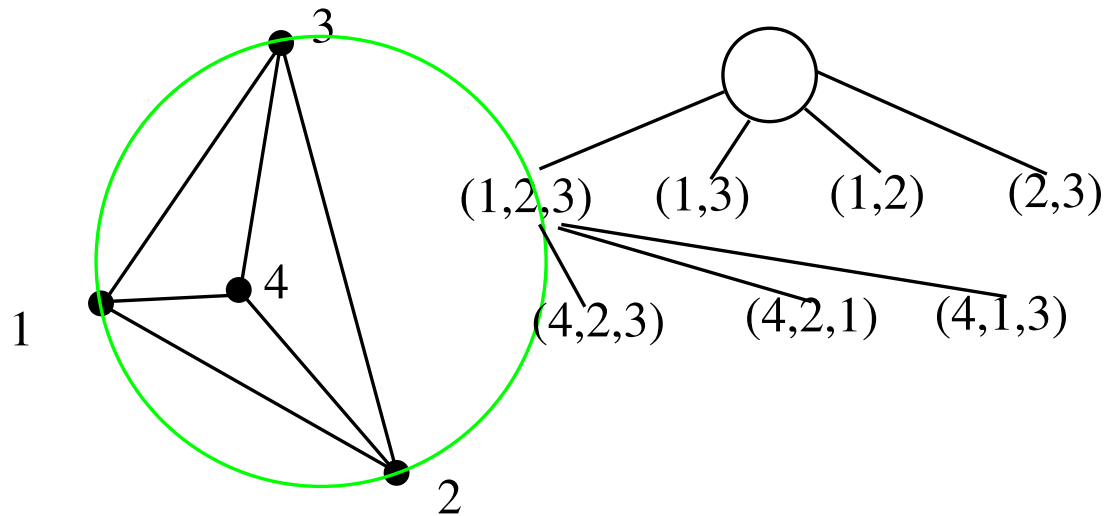
# Delaunay DAG: Aufbau/Lokalisation



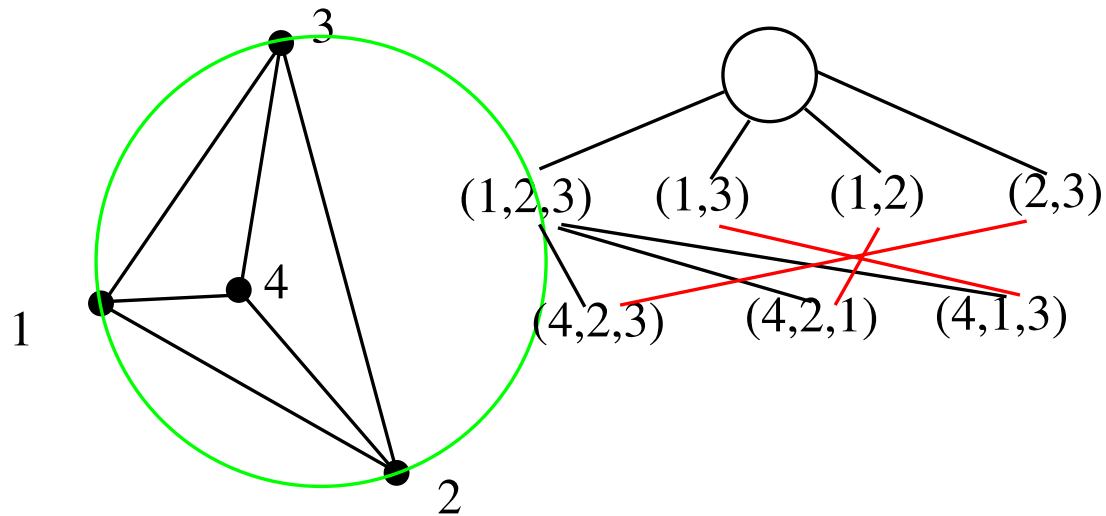
# Delaunay DAG: Aufbau/Lokalisation



# Delaunay DAG: Aufbau/Lokalisation

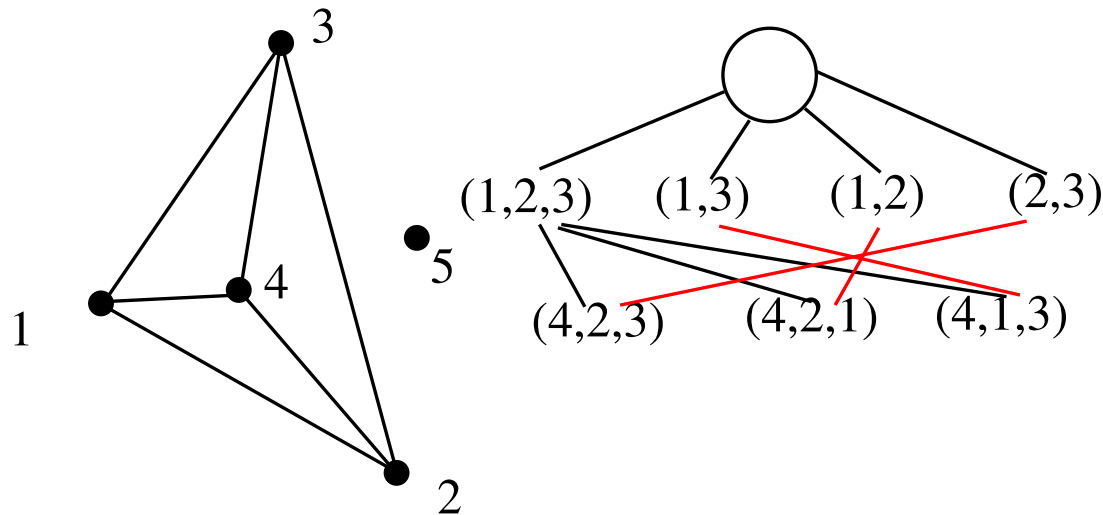


# Delaunay DAG: Aufbau/Lokalisation

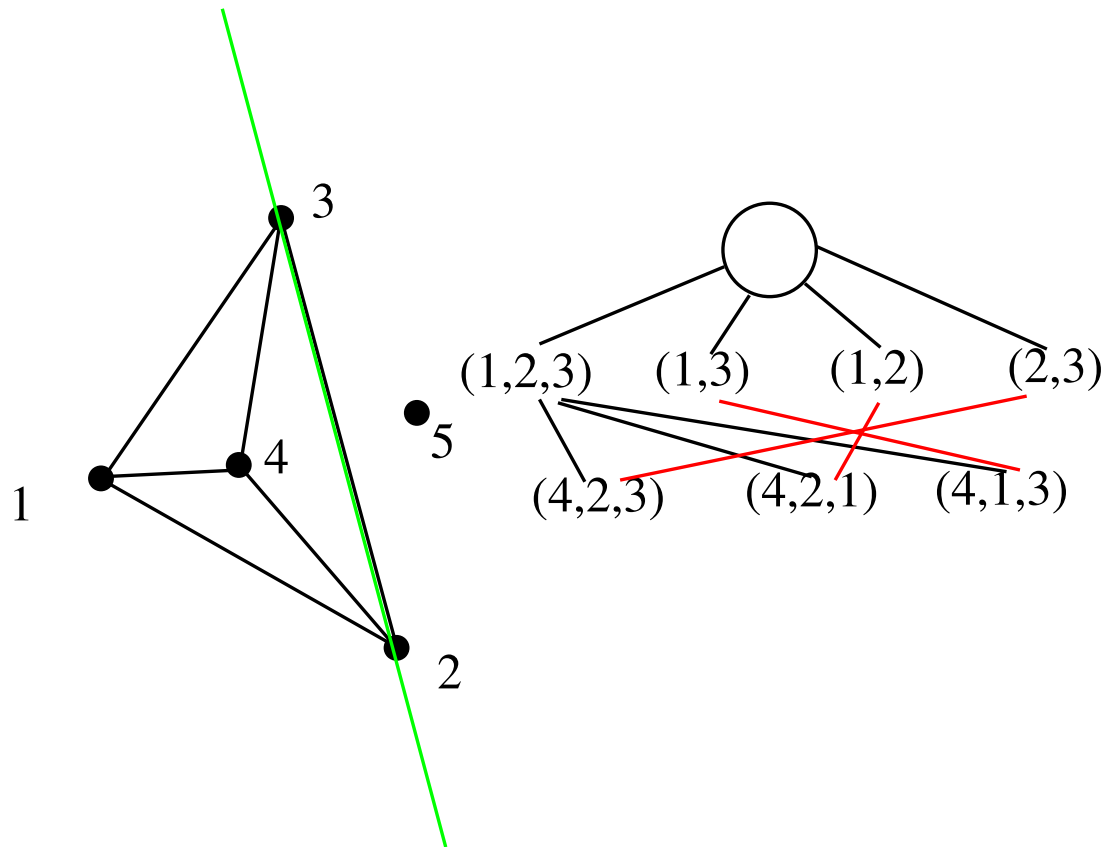




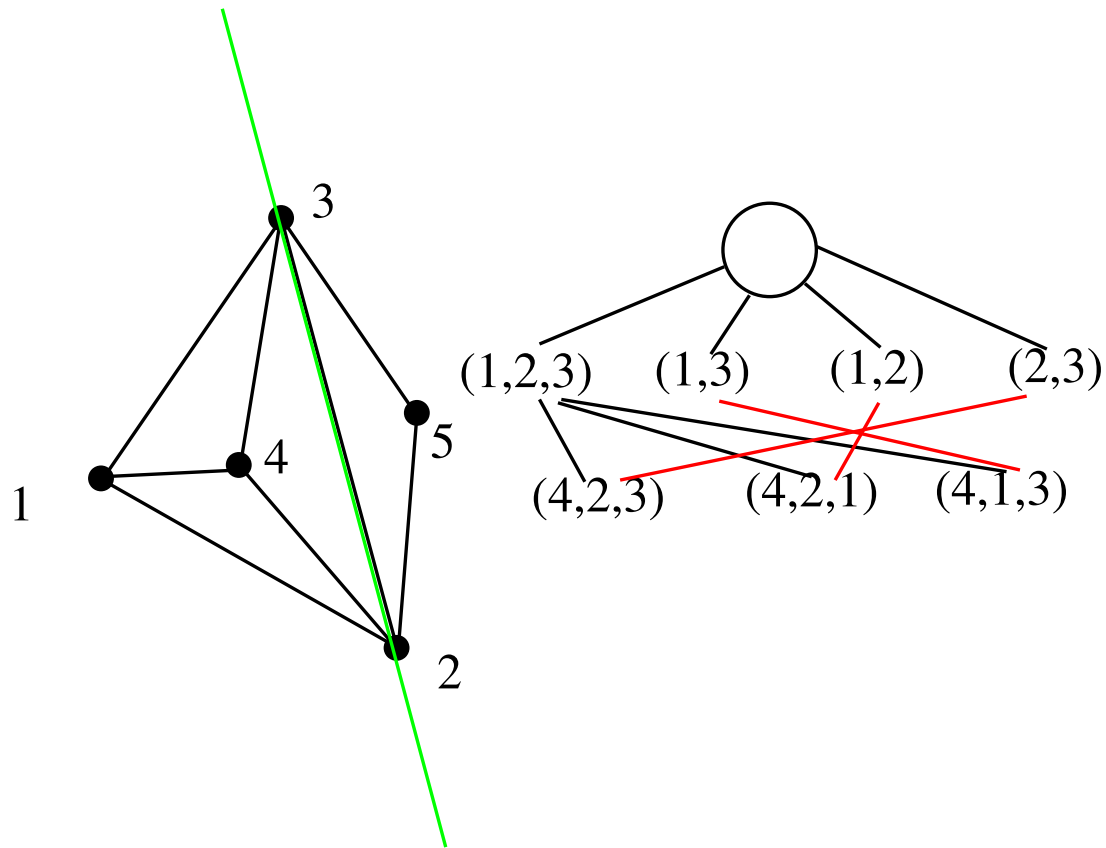
# Delaunay DAG: Aufbau/Lokalisation



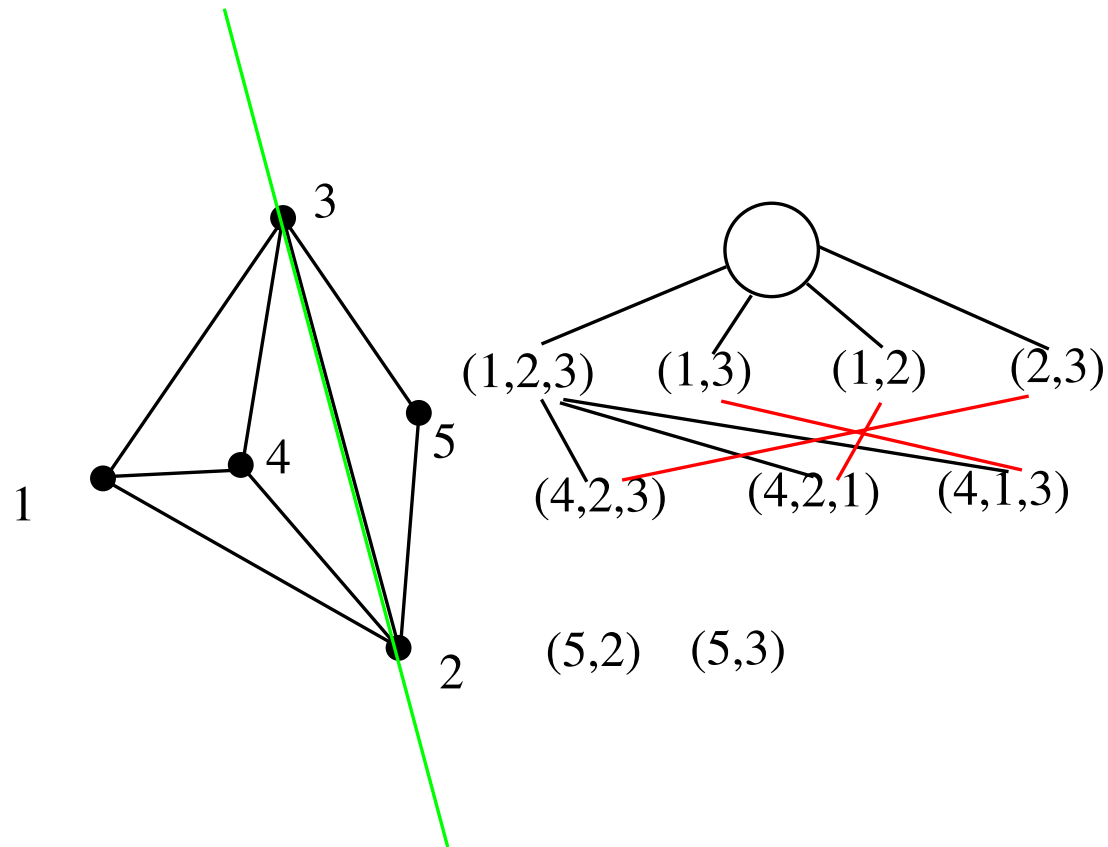
# Delaunay DAG: Aufbau/Lokalisation



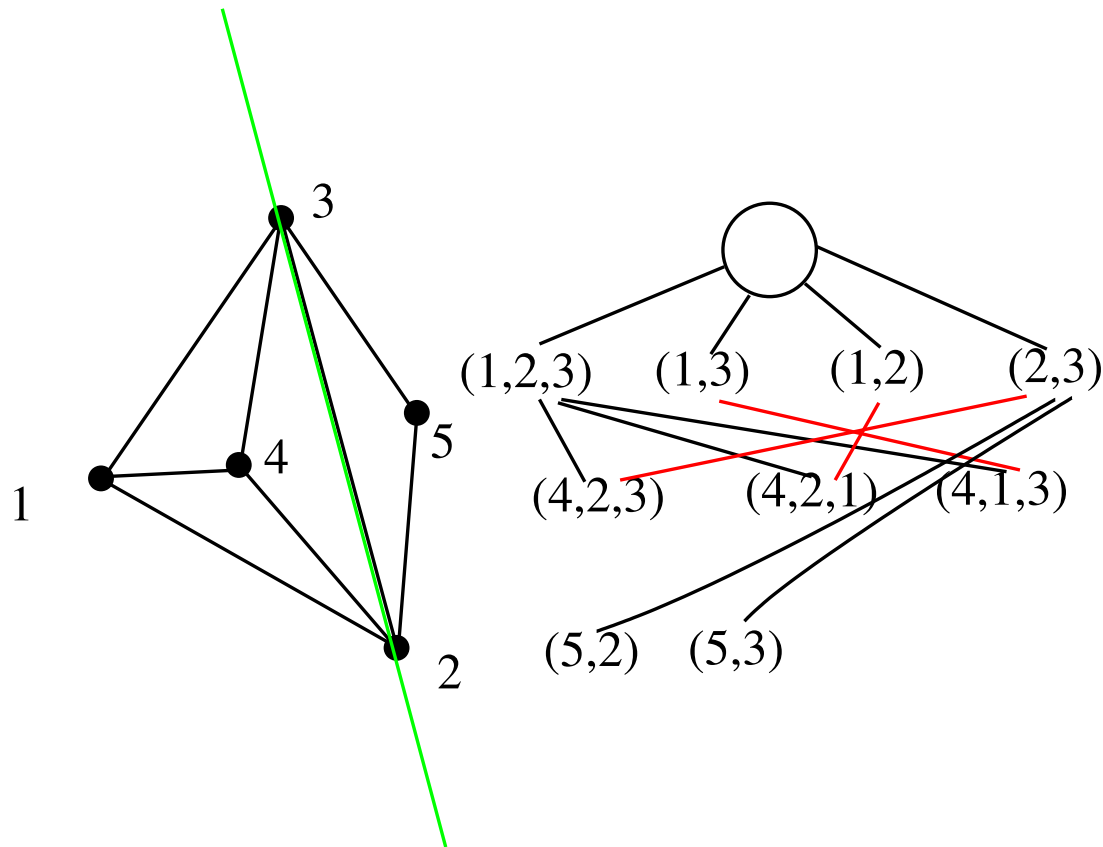
# Delaunay DAG: Aufbau/Lokalisation



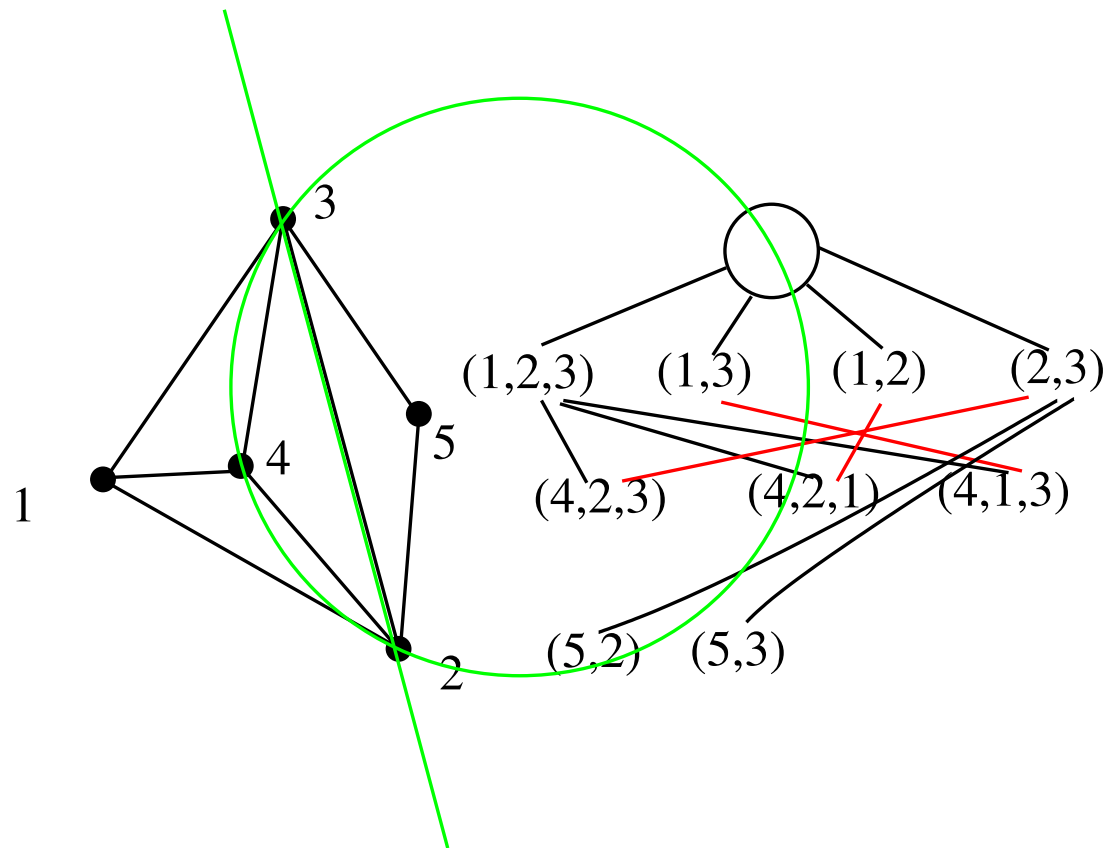
# Delaunay DAG: Aufbau/Lokalisation



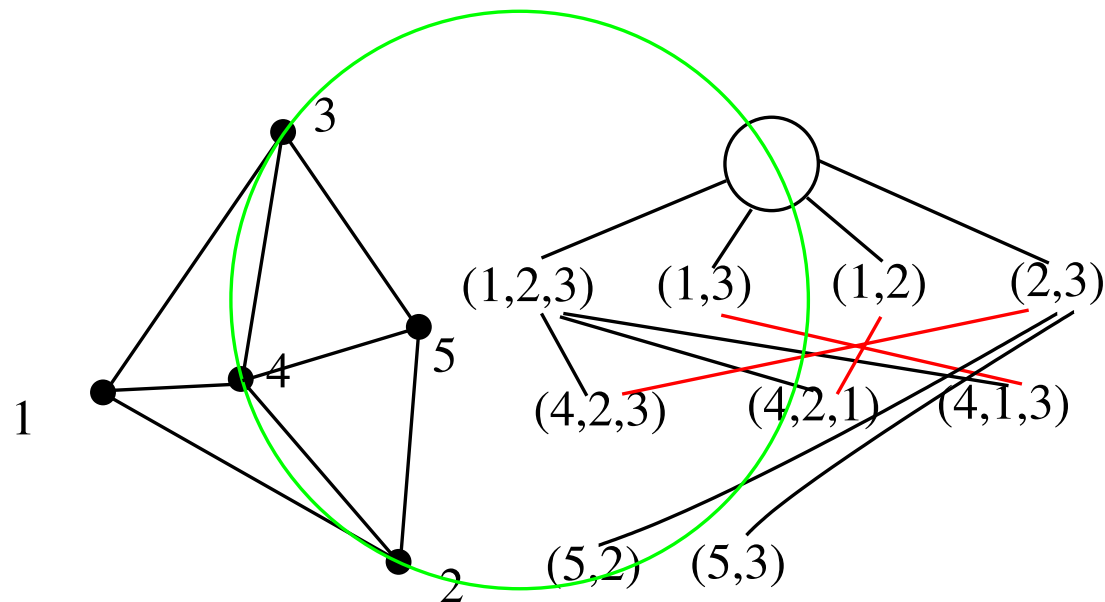
# Delaunay DAG: Aufbau/Lokalisation



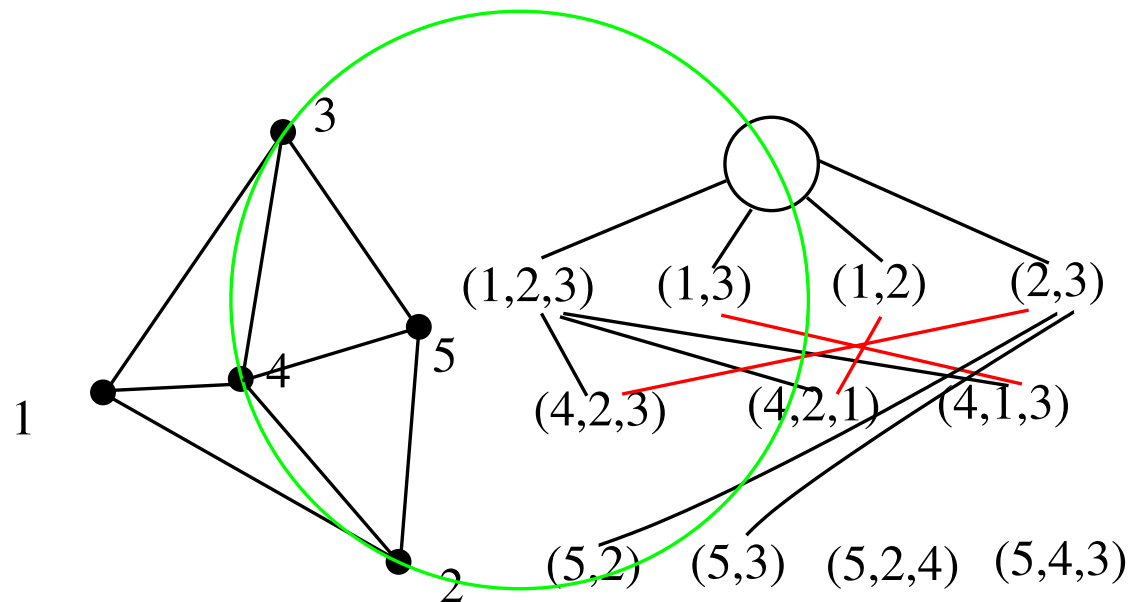
# Delaunay DAG: Aufbau/Lokalisation



# Delaunay DAG: Aufbau/Lokalisation

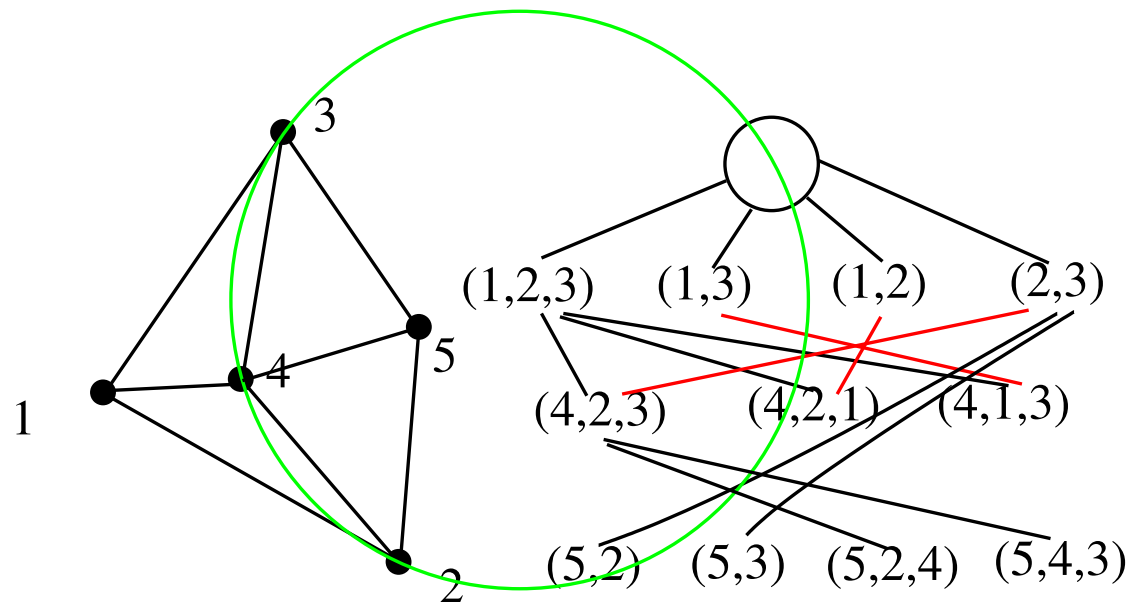


# Delaunay DAG: Aufbau/Lokalisation

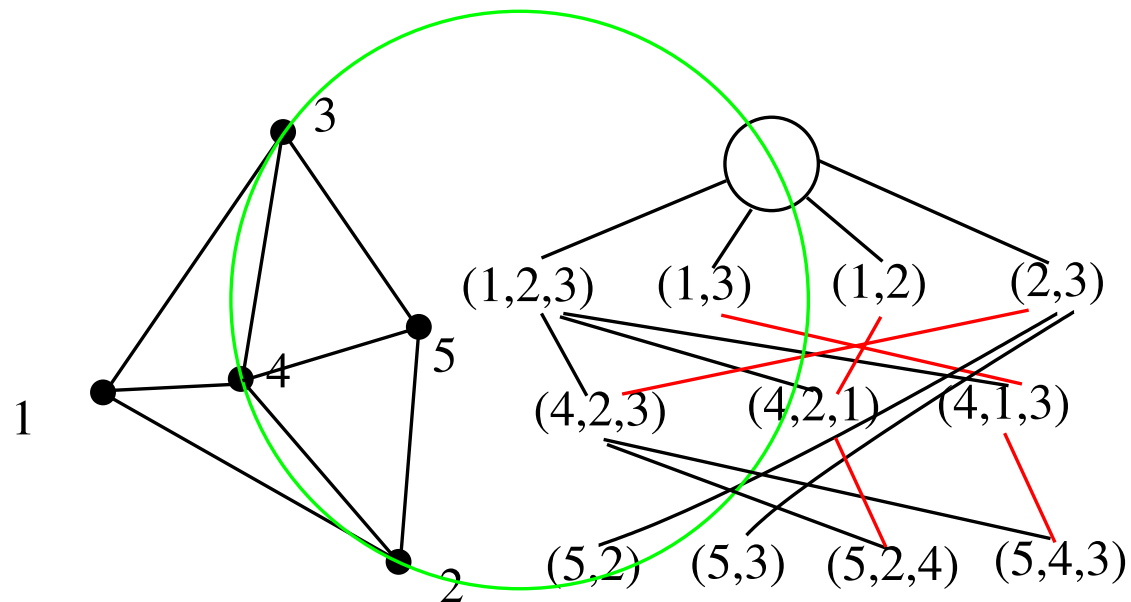




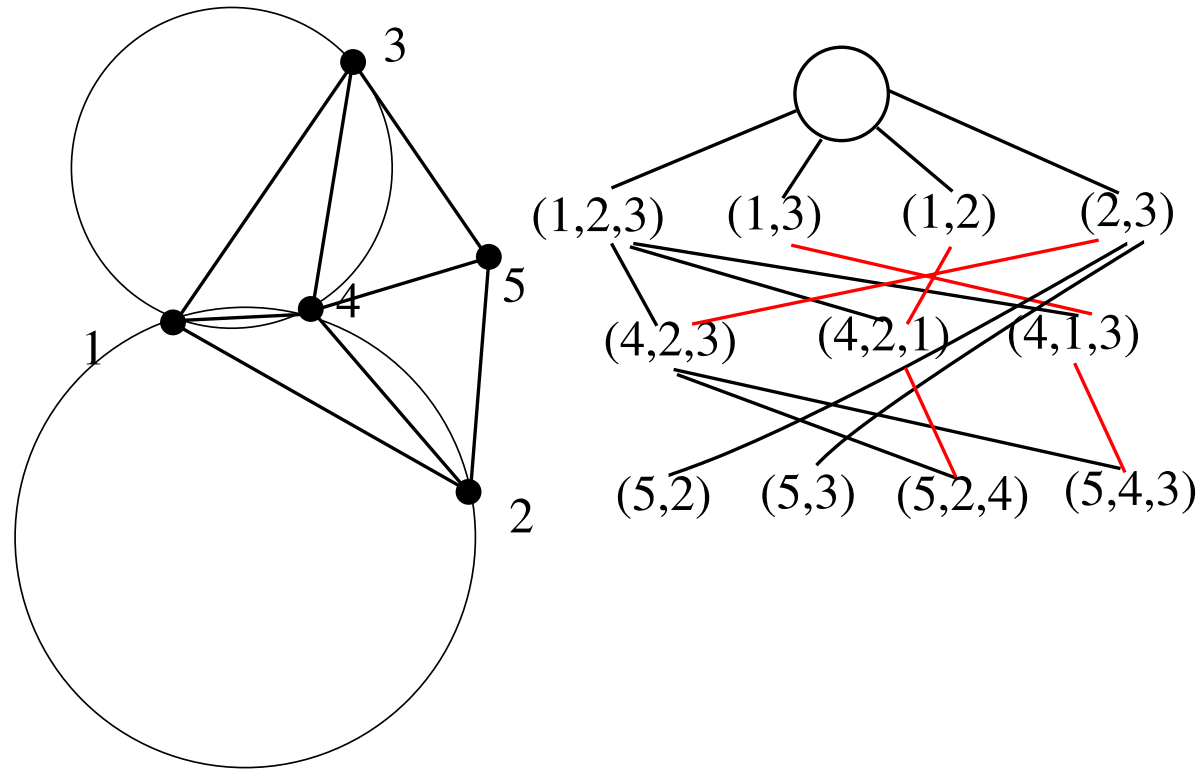
# Delaunay DAG: Aufbau/Lokalisation



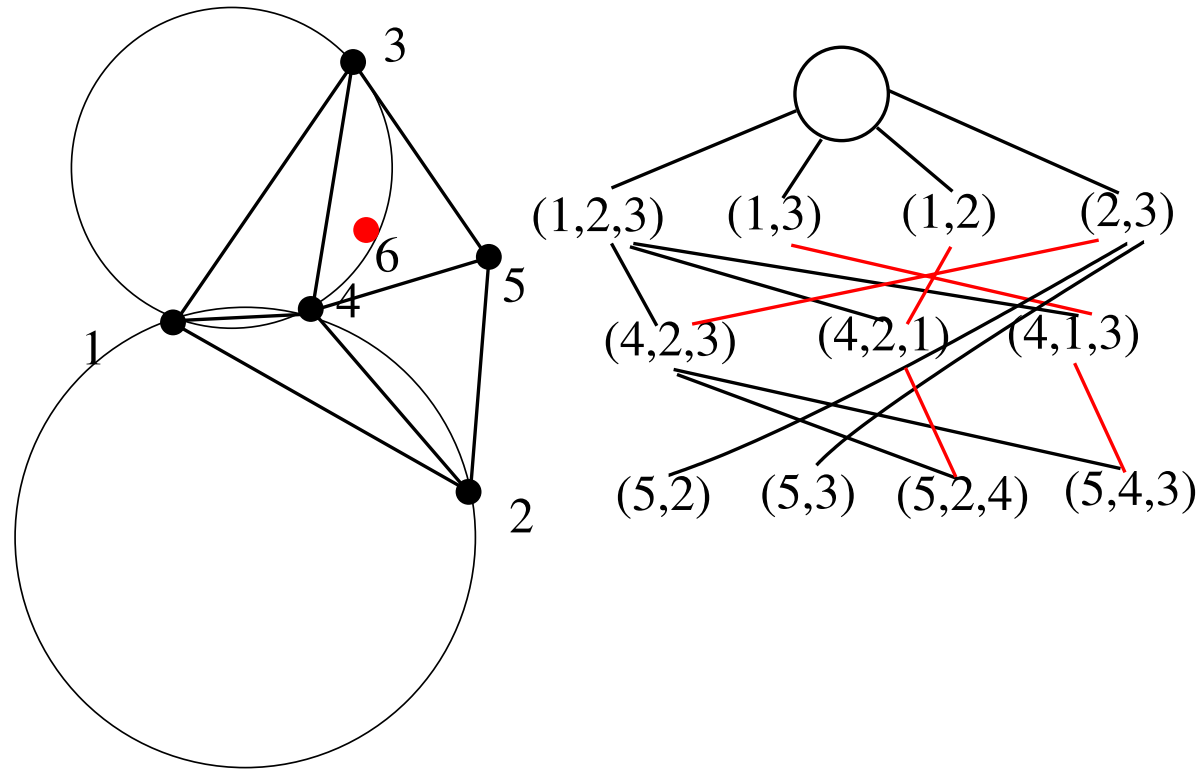
# Delaunay DAG: Aufbau/Lokalisation



# Delaunay DAG: Aufbau/Lokalisation



# Delaunay DAG: Aufbau/Lokalisation



## DAG: Lokalisieren von $p_i$ (Einfügen)

- $DT_3, DT_3, \dots, DT_{i-1}$
- Neuer Punkt  $p_i$ ,  $DAG_{i-1}$

Korollar 6.7 Sei  $T$  ein Delaunay Dreieck in  $DT_3, DT_3, \dots, DT_{i-1}$ , das mit  $p_i$  in Konflikt steht. Dann gibt es in  $DAG_{i-1}$  einen gerichteten Weg von der Wurzel nach  $T$ , der nur Dreiecke enthält, die mit  $p_i$  in Konflikt stehen.

Beweis: Folgerung aus Lemma 6.6, Konflikt mit Vater oder Stiefvater, sukzessive zurückverfolgen

## DAG: Lokalisieren von $p_i$ (Einfügen)

- Tiefensuche in  $\text{DAG}_{i-1}$  von Wurzel aus
- Dreieck erreicht, ohne Konflikt mit  $p_i$ : Umkehren
- Alle Konflikt-Dreiecke werden erreicht, auch  $\text{DT}_{i-1}$ , das  $p_i$  enth.
- Def.  $m_i$ : Anzahl Dreiecke aus  $\text{DT}_{i-1}$ , die mit  $p_i$  in Konfl. stehen (auch alte,  $m_i \geq d_i!$ )
- Alle Konfliktdreiecke in  $O(m_i)$
- Danach: Edge-Flips  $O(k_i)$ , Grad in DT,  $k_i \leq m_i$
- $\text{DAG}_{i-1}$  aktualisieren
- Neues Dreieck: Vater/Stiefvater stehen fest, neue Kanten
- $d_i \leq k_i + 2 \leq m_i + 2$ :  $O(m_i)$  neue Dreiecke und Kanten
- Gesamtlaufzeit:  $O(m_i)$

# Delaunay-DAG: Ergebnis

## Delaunay-DAG: Ergebnis

Lemma 6.8 Die Verwendung eines Delaunay-DAG macht es möglich, einen neuen Punkt  $p_i$  in Zeit  $O(m_i)$  in die Delaunay Triangulation  $DT_{i-1}$  einzufügen. Dabei bezeichnet  $m_i$  die Anzahl der Dreiecke, die in  $DT_3, \dots, DT_{i-1}$  vorkommen (einfach gezählt) und deren Vater oder Stiefvater mit  $p_i$  in Konflikt steht.

- Abschätzung vom  $m_i$  bei randomisierter Eingabefolge!
- Eingabereihenfolge gleich wahrscheinlich unter allen!
- Rückwärts:  $p_j$  mit WS  $\frac{1}{j}$  aus  $\{p_1, \dots, p_j\}$

Gesamtergebnis: Die Delaunay Triangulation von  $n$  Punkten kann in erwarteter Laufzeit  $O(n \log n)$  mit erwartetem linearem Speicherplatz konstruiert werden.



## Delaunay-DAG: Ergebnis

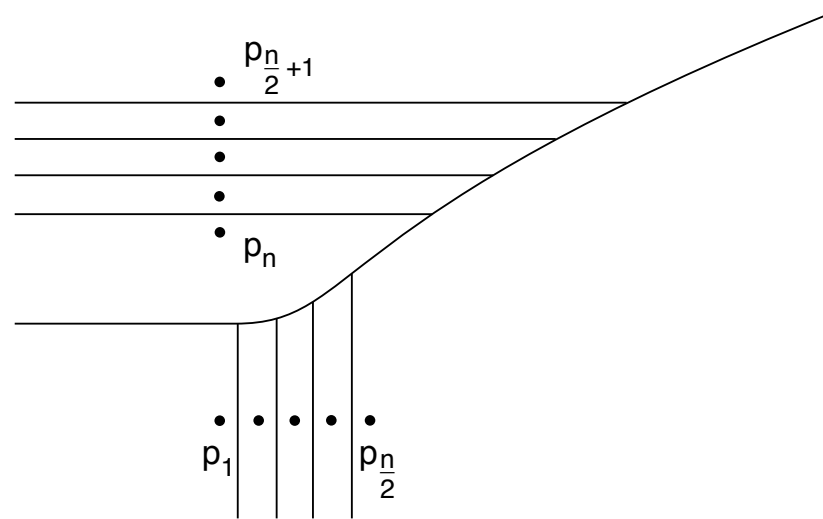
Theorem 6.9 Durch die Verwendung des Delaunay DAGs kann in mittlerer Zeit  $O(\log i)$  einen Punkt  $p_i$  in  $DT_{i-1}$  einfügen, falls jede Reihenfolge von  $p_1, p_2, \dots, p_n$  gleich wahrscheinlich ist. Der Speicherplatzbedarf von  $DAG_i$  ist im Mittel linear.

- Speicherpl.: Anzahl Knoten aus  $DAG_i$  (nur zwei Kanten pro. Kn.)
- $b_j :=$  Anzahl Dreiecke in  $DT_j \setminus DT_{j-1}$
- $b_j \leq \text{grad}(p_j) + 1$  in  $DT_j$ ,  $p_j$  zufällig gewählt
- Erwartungswert:  $E(b_j) = E(\text{grad}(p_j) + 1) = 6 + 1$ , Region im Mittel 6 Kanten (Theorem 5.3)
- $\sum_{j=3}^i E(b_j) \in O(i)$
- $E(h_j) :=$  Erwartete Anzahl Dreiecke in  $DT_j \setminus DT_{j-1}$  die mit  $p_i$  in Konflikt sind,  $E(h_i) = \frac{6 \cdot 3}{j}$ ,  $\sum_{j=3}^{i-1} E(h_j) \in O(\log i)$

# Worst-Case Reihenfolge: $\Omega(n^2)$ Aufwand

# Worst-Case Reihenfolge: $\Omega(n^2)$ Aufwand

- $X$ -Achse  $p_1, \dots, p_{\frac{n}{2}}$ ,  $Y$ -Achse  $p_{\frac{n}{2}+1}, \dots, p_n$
- Von oben nach unten: Mit jedem unteren Punkt eine neue Delaunay Kante
- Gilt für Delaunay und VD: Applet



# Kapitel Buch

Kapitel 6 Seite 274 unten – S. 285 unten